



Noorderlicht te Alphen aan den Rijn

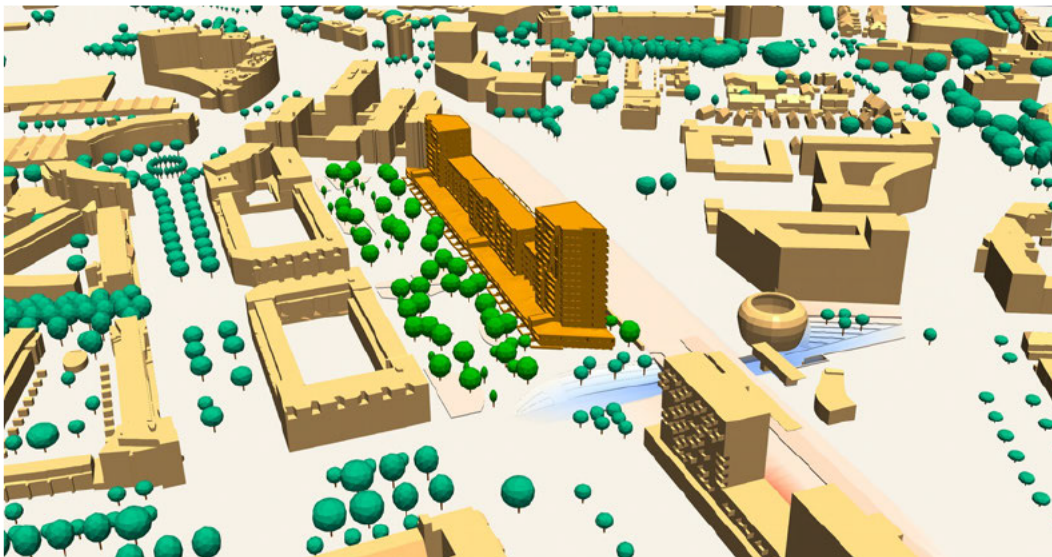
Windklimaatonderzoek met behulp van CFD

Concept

Noorderlicht te Alphen aan den Rijn

Windklimaatonderzoek met behulp van CFD

Concept



opdrachtgever Buro SRO
rapportnummer O 16762-3-RA
datum 23 juni 2022
referentie HH/MHen//O 16762-3-RA
verantwoordelijke ir. J.A. Huizer
opsteller M.B. Hendriks MSc.

██████████
██████████ peutz.n

peutz bv, postbus 696, 2700 ar zoetermeer, +31 85 822 87 00 ██████████ peutz.n , www.peutz.n

██████████ opdrachten volgens DNR 2011, d NL ngen eurs, ██████████ , SO 9001:2008

mook zoetermeer groningen düsseldorf dortmund berlin eindhoven parijs lyon

Inhoudsopgave

| | |
|---|-----------|
| 1 Inleiding | 4 |
| 2 Normstelling en uitgangspunten | 5 |
| 2.1 Beslismodel NEN 8100 | 5 |
| 2.2 Windhinder en windgevaar volgens NEN 8100 | 5 |
| 2.2.1 Windhinder | 5 |
| 2.2.2 Windgevaar | 6 |
| 2.3 Windklimaat op de locatie | 7 |
| 2.4 Simulatie windsnelheden met CFD | 9 |
| 3 Rekenresultaten | 10 |
| 4 Samenvatting en conclusies | 12 |

1 Inleiding

In opdracht van Buro SRO is met behulp van Computational Fluid Dynamics (CFD) een indicatief onderzoek verricht naar de te verwachten windklimaatssituatie rondom de geplande bebouwing Noorderlicht te Alphen aan den Rijn.

Voor het vervaardigen van het CFD model is onder meer gebruik gemaakt van een door Buro SRO aangeleverd 3D model. De stedenbouwkundige omgeving en de begroeiing is meegenomen aan de hand van gegevens uit openbare bronnen. In totaal is een gebied gemodelleerd is van circa 1000 bij 1000 meter.

Het doel van het onderzoek was het vaststellen en beoordelen van het te verwachten windklimaat in de directe omgeving van de geplande bebouwing.

Voor de opzet van het onderzoek en de beoordeling van het windklimaat is uitgegaan van de Nederlandse norm NEN 8100:2006 *Windhinder en windgevaar in de gebouwde omgeving*.

f1.1 *Het gehanteerde 3D model van de geplande bebouwing*



In dit rapport wordt verslag gedaan van het verrichte onderzoek waarbij de volgende indeling is gehanteerd. In hoofdstuk 2 worden de normstelling en uitgangspunten van het onderzoek toegelicht. De rekenresultaten worden gepresenteerd in hoofdstuk 3 van dit rapport. Tot slot is in hoofdstuk 4 een samenvatting van het onderzoek opgenomen en worden conclusies gegeven.

2 Normstelling en uitgangspunten

2.1 Beslismodel NEN 8100

De beoordeling van het windklimaat met betrekking tot windhinder en windgevaar, is in Nederland vastgelegd in de norm NEN 8100. Om te bepalen of windhinder en/of windgevaar te verwachten is, kan in eerste instantie gebruik worden gemaakt van het beslismodel in de NEN 8100. Hierin wordt onder meer beschreven in welke situaties windklimaatonderzoek nodig is. Voor gebouwen met een hoogte vanaf 30 meter wordt nader onderzoek met CFD- of windtunnelsimulatie noodzakelijk geacht. Gezien de geplande bouwhoogte van 48 meter, wordt het uitvoeren van een windklimaatonderzoek als noodzakelijk beschouwd.

2.2 Windhinder en windgevaar volgens NEN 8100

De gevoeligheid van de mens voor wind is sterk afhankelijk van de activiteit waarmee men bezig is. Bij een laag activiteitsniveau (bijvoorbeeld wachten bij een bushalte, op een terrasje zitten) zullen lagere windsnelheden als hinderlijk ervaren kunnen worden dan bij een hoger activiteitsniveau. In de NEN 8100 wordt voor de beoordeling van het windklimaat derhalve onderscheid gemaakt tussen verschillende activiteitsklassen. Bij hogere windsnelheden kan tevens sprake zijn van gevaarlijke situaties zoals evenwichtsverlies bij het passeren van gebouwhoeken en dergelijke. Hiervoor wordt getoetst aan het specifieke gevaarcriterium.

2.2.1 Windhinder

Windhinder is iets wat in geen geval geheel te voorkomen is: als het stormt is de wind hinderlijk, wat voor maatregelen er ook getroffen worden. Het is daarom ook de kans op windhinder, die maatgevend gehouden wordt voor de beoordeling van het windklimaat. Voor windhinder wordt een drempelwaarde $v_{DR,H}$ aangehouden van 5 m/s uurgemiddelde windsnelheid op loop- of verblijfsniveau. Bij deze windsnelheid gaan mechanische effecten bij de ervaring van het windklimaat een rol spelen zoals bijvoorbeeld het omslaan van paraplu's, in de ogen waaien van stof en in meer extreme vorm het dichtwaaien van een autoportier en dergelijke.

Aan de hand van onderstaande tabel 2.1, afkomstig uit de NEN 8100, wordt een beoordeling gegeven van de te verwachten mate van windhinder.

t2.1 Criteria windhinder volgens NEN 8100

| Overschrijdingskans $p(v_{\text{lok}} > v_{\text{DR,H}})$ in procenten van het aantal uren per jaar | Kwaliteitsklasse | Activiteit | | |
|---|------------------|--------------|---------------|-----------------------|
| | | I. Doorlopen | II. Slenteren | III. Langdurig zitten |
| < 2,5 | A | Goed | Goed | Goed |
| 2,5 - 5 | B | Goed | Goed | Matig |
| 5 - 10 | C | Goed | Matig | Slecht |
| 10 - 20 | D | Matig | Slecht | Slecht |
| ≥ 20 | E | Slecht | Slecht | Slecht |

Afhankelijk van de activiteitenklasse wordt de waardering van het lokale windklimaat gekwalificeerd met 'goed', 'matig' of 'slecht' (zie tabel 2.1). Bij een goed windklimaat ondervindt men geen overmatige windhinder. In een situatie zonder overmatige windhinder heeft het merendeel van het publiek onder normale omstandigheden geen last van windhinder. Bij een matig windklimaat ervaart men af en toe overmatige windhinder. In een slecht windklimaat ervaart men regelmatig overmatige windhinder. In een dergelijke situatie heeft het merendeel van het publiek last van windhinder.

Er wordt naar gestreefd, om binnen de verschillende activiteitenklassen, een goed, eventueel nog matig windklimaat te realiseren.

Opgemerkt wordt dat de natuurlijke gebruiksmomenten van terrassen en buitenruimten doorgaans niet vaak samenvallen met ongunstige windomstandigheden. Zo zal een relatief groot deel van voorkomende windhinder optreden in de winter. In de norm wordt daar geen rekening mee gehouden. Op terrassen en buitenruimten wordt om deze reden meestal uitgegaan van het criterium voor slenteren in plaats van langdurig zitten, met een streefwaarde van minder dan 5%.

2.2.2 Windgevaar

Voor windgevaar wordt 15 m/s uurgemiddelde windsnelheid als drempelwaarde $v_{\text{DR,G}}$ gehanteerd.

Op basis van tabel 2.2, afkomstig uit de NEN 8100, wordt bepaald of sprake is van windgevaar.

t2.2 Criteria windgevaar volgens NEN 8100

| Overschrijdingskans $p(v_{\text{lok}} > v_{\text{DR,G}})$ in procenten van het aantal uren per jaar | Kwalificatie |
|---|----------------|
| $0,05 < p < 0,30$ | Beperkt risico |
| $p \geq 0,30$ | Gevaarlijk |

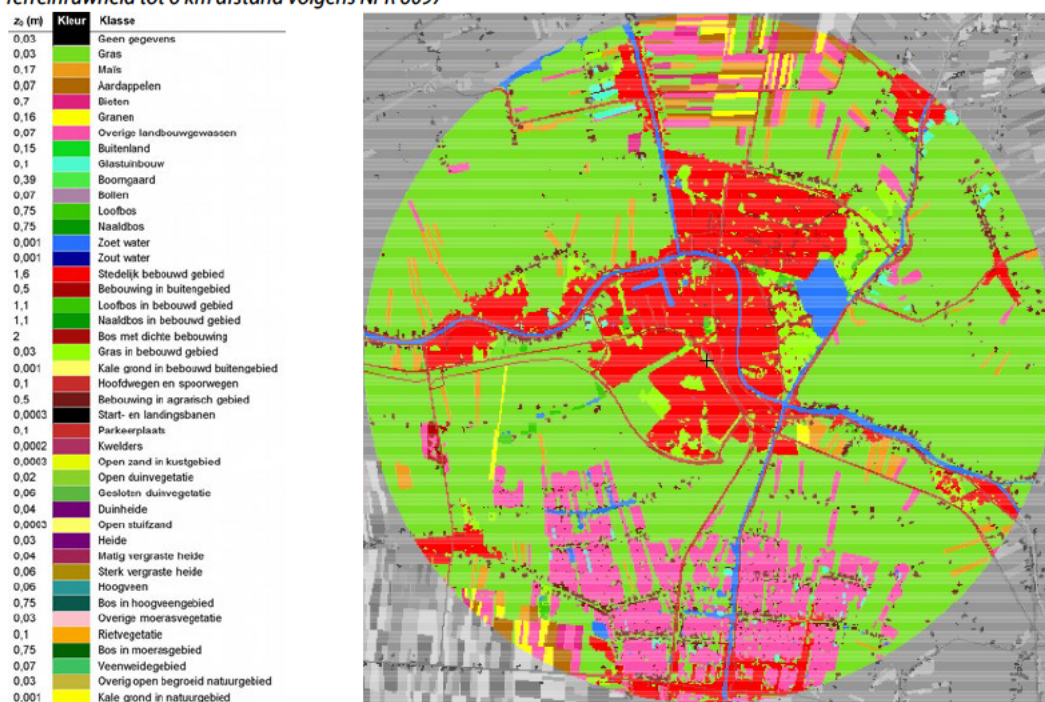
De norm stelt: "Situaties waarvoor een overschrijdingskans geldt van $0,05 < p < 0,30$ mogen alleen worden geaccepteerd als deze vallen binnen activiteiten klasse I (doorlopen). Voor activiteiten klasse II en III geldt de eis $p \leq 0,05$.

Situaties met een overschrijdingskans van $p \geq 0,30$ zijn evident gevaarlijk en behoren te allen tijde te worden vermeden; het publiek mag hier niet aan worden blootgesteld."

2.3 Windklimaat op de locatie

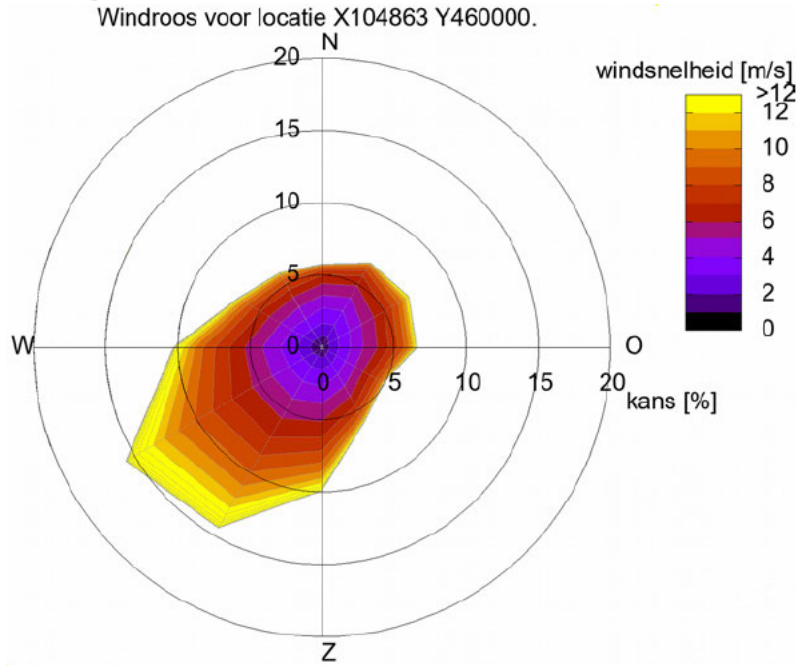
Voor de vertaling van de resultaten van de berekeningen naar de werkelijke situatie wordt gebruik gemaakt van een windstatistiek. De NEN 8100 verwijst voor de benodigde meteogegevens naar de NPR 6097:2006 *Toepassing van de statistiek van de uurgemiddelde windsnelheden voor Nederland*. Met behulp van de bijbehorende software wordt voor de specifieke locatie een windstatistiek berekend op basis van meteogegevens van een groot aantal meteostations en gegevens omtrent terreinruwheden tot 6 km afstand van het plan. De terreinruwheden van het omliggend gebied worden per categorie weergegeven in figuur 2.1. De kleur geeft de terreinruwheid aan, rood staat bijvoorbeeld voor stedelijk bebouwd gebied.

f2.1 Terreinruwheid tot 6 km afstand volgens NPR 6097



In figuur 2.2 is de op basis van de NPR 6097 berekende windroos op 60 meter hoogte boven de betreffende locatie weergegeven. In de windroos wordt de kans op het voorkomen van wind uit een bepaalde richting weergegeven alsmede de verdeling van windsnelheden binnen de betreffende richtingen. Uit de windroos en onderstaande windstatistiek (tabel 2.3) blijkt dat op de bouwlocatie met name bij wind uit het zuiden tot westen de hoogste windsnelheden optreden en dat de wind relatief vaak uit het uit het zuidwesten (210° en 240°) komt. De zuidwesten wind is hiermee voor een groot deel bepalend voor het windklimaat op de bouwlocatie.

f2.2 Windroos betreffende locatie volgens NPR 6097



t2.3 Windstatistiek van de betreffende locatie volgens NPR 6097

| wind snelheid | Distributie overzicht windsnelheden 60 meter op basis van NPR 6097 in uren per jaar | | | | | | | | | | | | totaal aantal uren: 8766,7 | |
|---------------------|---|-------|-------|-------------|-------|-------|--------------|--------|--------|--------------|-------|-------|------------------------------------|--|
| | Positie X104863 Y460000 Jaar 1963-2002 | | | | | | | | | | | | gemiddelde windsnelheid (m/s): 6,1 | |
| | Noord 0° | 30° | 60° | Oost 90° | 120° | 150° | Zuid 180° | 210° | 240° | West 270° | 300° | 330° | | |
| 0.0 - 0.9 | 15.7 | 18.8 | 10.3 | 11.6 | 12.5 | 12.7 | 13.4 | 12.7 | 14.2 | 17.3 | 14.5 | 13.9 | | |
| 1.0 - 1.9 | 54.7 | 57.0 | 39.8 | 37.8 | 34.0 | 40.5 | 44.4 | 46.0 | 47.1 | 56.1 | 50.0 | 47.0 | | |
| 2.0 - 2.9 | 76.2 | 80.3 | 63.3 | 54.9 | 55.2 | 62.0 | 79.5 | 77.1 | 71.9 | 80.9 | 69.8 | 64.0 | | |
| 3.0 - 3.9 | 91.3 | 98.9 | 78.9 | 70.9 | 66.5 | 76.9 | 98.0 | 101.4 | 101.5 | 99.2 | 79.6 | 74.6 | | |
| 4.0 - 4.9 | 79.8 | 95.9 | 86.0 | 78.8 | 63.3 | 79.9 | 107.9 | 123.3 | 115.6 | 109.9 | 80.7 | 80.6 | | |
| 5.0 - 5.9 | 68.0 | 80.9 | 88.4 | 82.7 | 60.3 | 73.2 | 105.3 | 137.2 | 138.4 | 106.9 | 76.7 | 69.2 | | |
| 6.0 - 6.9 | 49.9 | 69.4 | 73.6 | 70.8 | 49.3 | 58.2 | 97.6 | 130.9 | 141.9 | 94.6 | 61.5 | 54.6 | | |
| 7.0 - 7.9 | 32.5 | 38.3 | 52.4 | 53.5 | 36.4 | 39.7 | 82.6 | 126.3 | 138.6 | 88.3 | 52.0 | 41.6 | | |
| 8.0 - 8.9 | 17.8 | 26.9 | 42.2 | 39.3 | 26.5 | 28.8 | 68.0 | 117.6 | 125.7 | 70.2 | 36.3 | 29.9 | | |
| 9.0 - 9.9 | 9.2 | 14.1 | 30.1 | 29.9 | 16.9 | 20.9 | 55.1 | 96.6 | 113.6 | 52.0 | 27.6 | 19.6 | | |
| 10.0 - 10.9 | 5.0 | 8.0 | 19.3 | 20.0 | 6.9 | 11.7 | 37.7 | 84.1 | 97.7 | 38.0 | 18.8 | 11.6 | | |
| 11.0 - 11.9 | 2.7 | 3.2 | 11.9 | 11.6 | 3.1 | 8.2 | 28.5 | 86.9 | 77.2 | 29.0 | 11.0 | 6.0 | | |
| 12.0 - 12.9 | 1.5 | 1.8 | 8.7 | 7.3 | 1.6 | 3.6 | 19.8 | 48.0 | 58.4 | 20.4 | 7.7 | 4.1 | | |
| 13.0 - 13.9 | 0.8 | 0.5 | 4.5 | 4.8 | 0.7 | 1.8 | 12.7 | 36.0 | 48.0 | 15.5 | 3.1 | 2.1 | | |
| 14.0 - 14.9 | 0.2 | 0.2 | 1.9 | 1.6 | 0.3 | 0.3 | 8.4 | 22.6 | 31.0 | 10.4 | 1.4 | 1.1 | | |
| 15.0 - 15.9 | | | 0.4 | 0.8 | 0.2 | 0.4 | 4.7 | 15.4 | 21.0 | 5.8 | 1.2 | 0.5 | | |
| 16.0 - 16.9 | | | 0.2 | 0.7 | | 0.3 | 2.4 | 9.4 | 15.3 | 3.8 | 0.5 | 0.5 | | |
| 17.0 - 17.9 | | | 0.1 | 0.1 | | | 1.1 | 5.2 | 8.9 | 2.3 | 0.1 | 0.1 | | |
| 18.0 - 18.9 | | | | 0.1 | | | 0.5 | 2.8 | 4.9 | 1.2 | 0.2 | | | |
| 19.0 - 19.9 | | | | | | | 0.4 | 1.7 | 3.0 | 0.8 | 0.1 | | | |
| 20.0 - 20.9 | | | | | | | 0.4 | 1.0 | 2.2 | 0.3 | | | | |
| 21.0 - 21.9 | | | | | | | 0.1 | 0.6 | 1.0 | 0.2 | | | | |
| 22.0 - 22.9 | | | | | | | | 0.1 | 0.6 | 0.1 | 0.1 | | | |
| 23.0 - 23.9 | | | | | | | | | 0.4 | 0.1 | | | | |
| 24.0 - 24.9 | | | | | | | | | 0.2 | 0.1 | | | | |
| 25.0 - 25.9 | | | | | | | | | 0.1 | | | | | |
| 26.0 - 26.9 | | | | | | | | | 0.1 | | | | | |
| 27.0 - 27.9 | | | | | | | | | | | | | | |
| 28.0 - 28.9 | | | | | | | | | | | | | | |
| 29.0 - 29.9 | | | | | | | | | | | | | | |
| 30.0 - 30.9 | | | | | | | | | | | | | | |
| 31.0 - 31.9 | | | | | | | | | | | | | | |
| 32.0 - 32.9 | | | | | | | | | | | | | | |
| 33.0 - 33.9 | | | | | | | | | | | | | | |
| 34.0 - 34.9 | | | | | | | | | | | | | | |
| 35.0 - 35.9 | | | | | | | | | | | | | | |
| 36.0 - 36.9 | | | | | | | | | | | | | | |
| 37.0 - 37.9 | | | | | | | | | | | | | | |
| 38.0 - 38.9 | | | | | | | | | | | | | | |
| 39.0 - 39.9 | | | | | | | | | | | | | | |
| santaluren | 505.3 | 592.2 | 812.0 | 577.2 | 433.7 | 519.1 | 808.5 | 1262.9 | 1378.5 | 903.4 | 592.9 | 521.0 | | |
| gemiddelde snelheid | 4.5 | 4.7 | 5.6 | 5.7 | 5.0 | 5.2 | 6.3 | 7.4 | 7.8 | 6.3 | 5.4 | 5.1 | | |

2.4 Simulatie windsnelheden met CFD

Voor het uitvoeren van een windklimaatonderzoek beschikt Peutz over een eigen windtunnel. Als het gaat om relatief eenvoudige bebouwingssituaties, of bebouwingssituaties waar op voorhand van wordt verwacht dat geen grote windproblemen op gaan treden, kan worden volstaan met een numerieke simulatie met Computational Fluid Dynamics (CFD). In deze situatie is in overleg met de opdrachtgever van deze onderzoeksmethode uitgegaan. De rekenmethode is aan de hand van eerder uitgevoerde windtunnelprojecten gevalideerd.

De grenslaagstroming die in de praktijk (bij neutrale stabiliteit ten aanzien van het temperatuurprofiel) aanwezig is wordt aan de rand van het CFD-model opgewekt zodat het juiste windprofiel (afhankelijk van de terreinruwheid) wordt gesimuleerd. Verfijning van de lokale windsituatie vindt plaats door de direct omliggende bebouwing en begroeiing mee te modelleren.

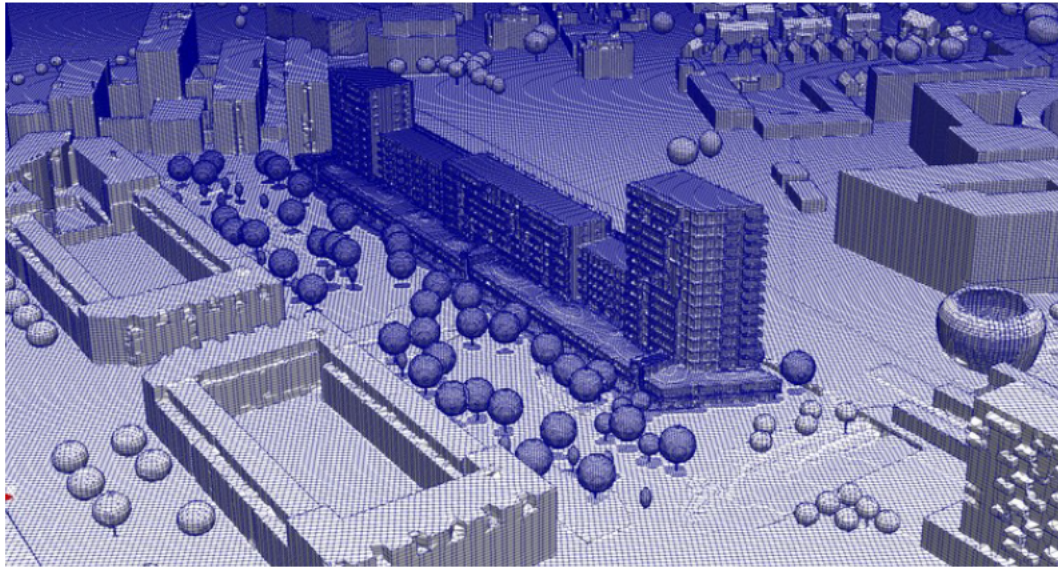
De windsnelheden rondom het project worden met het CFD-model voor 12 windrichtingen berekend. Met behulp van de windstatistiek voor de bouwlocatie, zoals berekend in navolging van de NPR 6097, wordt vervolgens per windrichting de overschrijdingskans voor de kritische uurgemiddelde windsnelheden van 5 en 15 m/s voor respectievelijk windhinder en windgevaar bepaald. De totale overschrijdingskans is de som van de overschrijdingskansen per windrichting, ook wel de hinderkans en de gevaarkans genoemd. Deze worden vervolgens getoetst aan de NEN 8100 om het lokale windklimaat te kunnen beoordelen.

In bijlage 1 is het technisch inlegvel, conform de NEN 8100, opgenomen. Het technisch inlegvel bevat een aantal rubrieken en aandachtspunten die een kort, schetsmatig overzicht geven van de relevante zaken van de CFD-berekeningen.

3 Rekenresultaten

In figuur 3.1 is een aanzicht gegeven van het rekengrid ter plaatse van de geplande bebouwing.

f3.1 Aanzicht oppervlakte grid rekenmodel

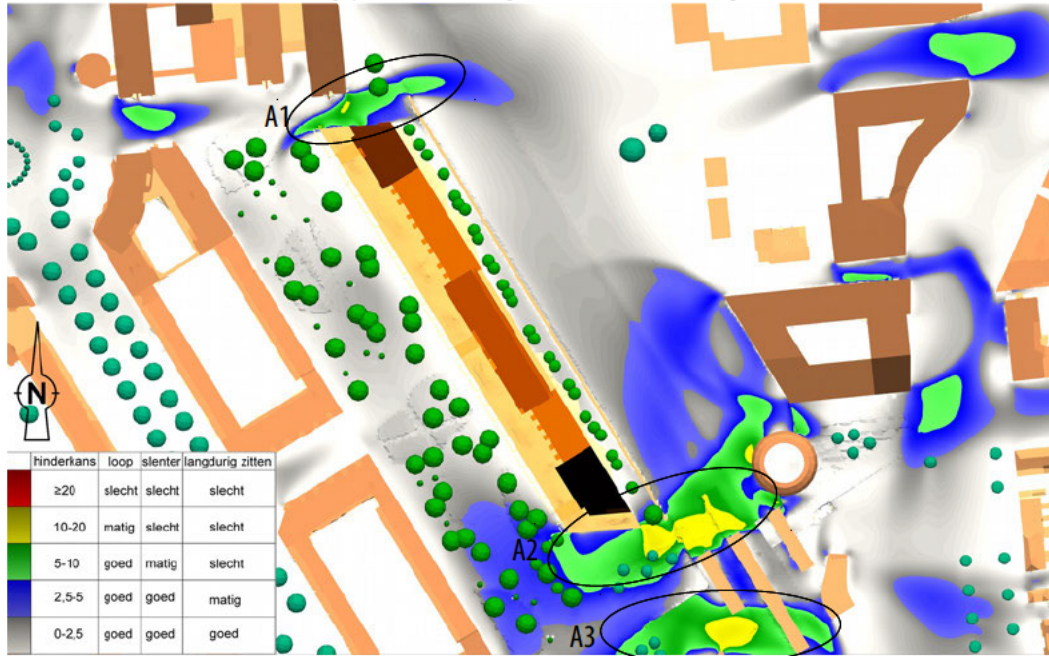


Het windklimaat wordt beoordeeld op basis van de uitgevoerde CFD-berekeningen, de windstatistiek van de betreffende locatie en de grenswaarden zoals beschreven in de paragrafen 2.2.1 en 2.2.2 betreffende windhinder en windgevaar.

In figuur 3.2 wordt in een horizontale doorsnede op hoofdhoogte (1,75 meter boven plaatselijk maaiveldniveau) de berekende hinderkans met kleurcontouren voor de geplande bebouwingssituatie weergegeven. De kleuren zijn afgestemd op de beoordelingscriteria uit de NEN 8100. Bij de beoordeling van het windklimaat wordt onderscheid gemaakt tussen de categorieën doorlopen en slenteren. Het criterium voor slenteren is van toepassing bij de gebouwentrees, verder wordt het criterium voor doorlopen gehanteerd. In slentergebieden wordt een hinderkans van minder dan 5%, overeenkomend met een beoordeling goed, nagestreefd. Het criterium voor langdurig zitten is niet toegepast.

Het aspect windgevaar wordt alleen tekstueel beoordeeld.

f3.2 Het te verwachten windklimaat in de geplande bebouwingssituatie, beoordeeld volgens de NEN 8100



Uit de resultaten in figuur 3.2 blijkt onder meer dat ten noorden en ten zuiden van het plan enige windhinder zal ontstaan. Tussen het plan en het bouwcomplex in het noorden, omcirkeld aandachtsgebied A1, is er zover hier windgevoelige functies beoogd zijn sprake van een matig windklimaat voor slenteren tot plaatselijk slecht, kleur groen in figuur 3.2. Windgevoelige functies zoals gebouwentrees worden er derhalve afgeraden. Indien hier toch een entree is gepland dan zou deze bijvoorbeeld verdiept in de gevel kunnen worden geplaatst.

Ten zuiden van het plan, aandachtsgebied A2, is er een goed tot plaatselijk matig windklimaat voor doorlopen. Hier bevindt zich nu fietsenstalling station west en de trap het perron op. Hier zou enige beschutting voor het voetverkeer naar het station toegevoegd kunnen worden. Bij windgevoelige functies zoals tuinen en een stukje van het perron is bij de kleur groen sprake van een matig windklimaat voor de activiteit slenteren.

Ten zuiden van het gebied, aandachtsgebied A3, daarvan is het aannemelijk dat dit het gevolg is van de reeds aanwezige bebouwing.

Op basis van de berekeningen is er in het gebied rond de geplande nieuwbouw geen slecht windklimaat voor de activiteit doorlopen en geen overschrijding van het gevaarcriterium te verwachten.

4 Samenvatting en conclusies

In opdracht van Buro SRO is met behulp van Computational Fluid Dynamics (CFD) een indicatief onderzoek verricht naar de te verwachten windklimaatssituatie rondom de geplande bebouwing Noorderlicht te Alphen aan den Rijn. Het doel van het onderzoek was het vaststellen en beoordelen van het te verwachten windklimaat in de directe omgeving van de geplande bebouwing.

Voor de opzet van het onderzoek en de beoordeling van het windklimaat is uitgegaan van de Nederlandse norm NEN 8100:2006 *Windhinder en windgevaar in de gebouwde omgeving*.

Uit de resultaten van het onderzoek kunnen de volgende conclusies getrokken worden:

- In de geplande situatie is het verwachte windklimaat overwegend goed voor lopen rond het plan. Aandachtsgebieden zijn ten noorden en zuiden van het plan. Het windklimaat is op deze plekken plaatselijk matig voor doorlopen.
- In het nabijgelegen park wordt een goed windklimaat verwacht.
- Op basis van de berekeningen is er in het gebied rond de geplande nieuwbouw geen slecht windklimaat voor de activiteit doorlopen en er is geen overschrijding van het gevaarcriterium te verwachten.

Mook,

Dit rapport bevat 12 pagina's

Bijlage 1: Technisch inlegvel numerieke simulatie

Bijlage 1 Technisch inlegvel numerieke simulatie

| Project | Projectgegevens | | | |
|---|--|--|--|-------------------|
| Projectnaam | Noorderlicht te Alphen aan den Rijn | | | |
| Opdrachtgever | Buro SRO | | | |
| Projectleider | M.B. Hendriks MSc. | | | |
| Datum | 23 juni 2022 | | | |
| Model | Algemene gegevens van het model | | | |
| Omvang gemodelleerd gebied | 1000 x 1000 meter | | | |
| Kerngebied | het gebied rondom de geplande nieuwbouw | | | |
| Omgeving | bebouwing/begroeiing | | | |
| Afmetingen model | 1100 x 1100 x 250 meter | | | |
| Blokkeringsgraad | <10% | | | |
| Gemodelleerd groen | jaargemiddelde situatie | | | |
| Onderzochte windrichtingen | 12 (rondom in stappen van 30 graden) | | | |
| Onderzochte configuraties | geplande bebouwingssituatie | | | |
| Computeropstelling | Specifieke gegevens van gebruikte programmatuur | | | |
| Programmatuur | OpenFoam 9 | | | |
| | ✓ | FVM (eindige volume methode) | | |
| | – | FEM (eindige elementen methode) | | |
| | – | anders | | |
| Algemeen | ✓ | drie dimensionaal | – | twee dimensionaal |
| | ✓ | tijd onafhankelijk | – | tijd afhankelijk |
| | ✓ | isothermisch | – | thermisch |
| | – | passieve scalairs | – | actieve scalairs |
| Rekenrooster | circa 12 miljoen cellen; verfijning t.p.v. de geplande bebouwing | | | |
| Turbulentiemodellering | k ε RNG turbulentiemodel | | | |
| Convectieve differentieschema's | snelheidscomponenten: Gauss | | | |
| | turbulentie grootheden: Gauss | | | |
| | scalaire variabelen: | | | |
| Randvoorwaarden | Gebruikte randvoorwaarden | | | |
| Instroomprofiel | logaritmisch snelheidsprofiel, windrichtingen 0° t/m 330°: z ₀ =0.7 m en bijbehorende profielen voor k en ε | | | |
| Uitlaat | constante druk | | | |
| Boven /zijwanden | gesloten, wrijvingsloos | | | |
| Gegevensverwerking en -beoordeling | Informatie voor locatie en beoordeling windklimaat | | | |
| Amersfoortse coördinaten van de locatie | X = 104863 Y = 460000 | | | |
| Toegepaste eisen | V _{DR} [m/s] | Gewenste kwaliteitsklasse | Overschrijdingskans [%] | Beoordeling |
| Voor comfort | | | p(V _{LOK} > V _{DR,H}) | |
| Doorlopen | 5,0 | ≤ D | < 20 | ≤ matig |
| Slenteren | 5,0 | ≤ C | < 10 | ≤ matig |
| Zitten | 5,0 | ≤ B | < 5 | ≤ matig |
| Regionale correctie | Geen correctie | | | |
| Voor gevaar | | | p(V _{LOK} > V _{DR,G}) | |
| | 15 | n.v.t | 0,05 < p < 0,30 | beperkt risico |
| | 15 | n.v.t | p ≥ 0,30 | gevaarlijk |
| Gepresenteerde resultaten | | windhinder: figuren met p (V _{LOK} > V _{DR,H}) waarden, gevaar: tekstuele beoordeling | | |
| Opmerkingen | | | | |